

III-10 三軸試験中の間隙水圧の挙動について

九州大学工学部

正員 水野 実明

正員 徳光 善治

正員 ○ 上 浩

飽和粘土に生ずる間隙水圧を考察するには、格子の交差に配置された剛性球をバネで繋ぎ、連結したモデルを考えると便利であることは昨年の講演会で述べた。

しかし算定には、かみ压力と歪率の直線関係(図-1 A線)にあらずとしたのでは、実験結果と契合しないもので、かみ压力の周辺は図-1 B線のごとく変化する特徴をいかないかと考える。

この曲線は、図-2に示す通り $\varepsilon > 0$ に対して $\bar{\sigma} = \sigma_f(1 - e^{-\frac{\varepsilon}{E_f}})$, $\varepsilon(0.1, 0.2, \dots, \bar{\sigma}_f(1 - e^{-\frac{\varepsilon}{E_f}})) \dots (1)$ なる式にしたがうものと仮定した。記号の簡略化のため軸方向の応力が歪 ε_1 は suffix 1, 半径方向には suffix 3 をつけておくものとする。

圧密急直試験について考えると、等方圧によって圧密と終えた時、理論的には供試体に残留する間隙水圧は 0 であるが、實際にはある間隙水圧 u_0 が残留している。

圧縮により生ずる軸方向・半径方向の歪を $\varepsilon_1, \varepsilon_3$ とすれば、有効応力-歪の曲線を式と仮定した事により、有効応力は次式で表わされる。

$$\bar{\sigma}_1 = \sigma_f(1 - e^{-\frac{\varepsilon_1}{E_f}}) + \sigma_3 - u_0, \quad \bar{\sigma}_3 = \sigma_f^2(1 - e^{-\frac{\varepsilon_3}{E_f}}) + \sigma_3 - u_0 \quad \dots (2)$$

ここで $\sigma_3 - u_0$ は圧密により生じた有効応力であり、 $\sigma_f(1 - e^{-\frac{\varepsilon_3}{E_f}})$ は圧縮荷重により生ずる有効応力である。

一方全応力と有効応力の関係は $\bar{\sigma} = \sigma - u = \sigma + p - u$, $\bar{\sigma} = \sigma - u$ (u :間隙水圧, σ :側圧, p :軸圧力) $\dots (3)$

で表わされる。又非排水試験故歪 ε_1 と ε_3 の間に $\varepsilon_1 = \varepsilon_3$

$$\varepsilon_1 + 2\varepsilon_3 = 0 \quad \dots (4)$$

となり立つ。これら(2)(3)(4)式をとつては

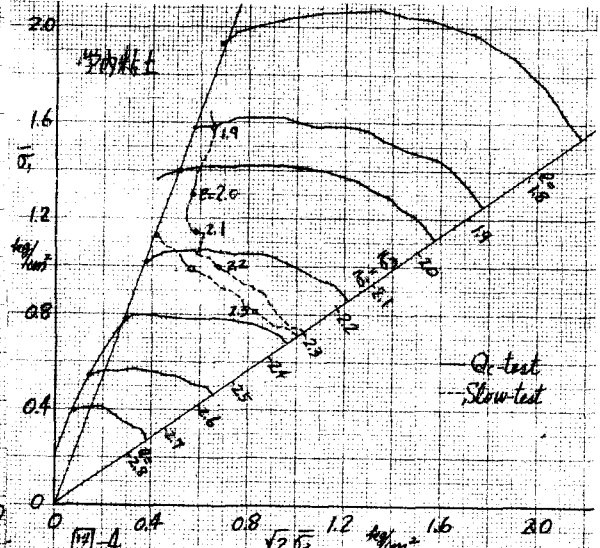
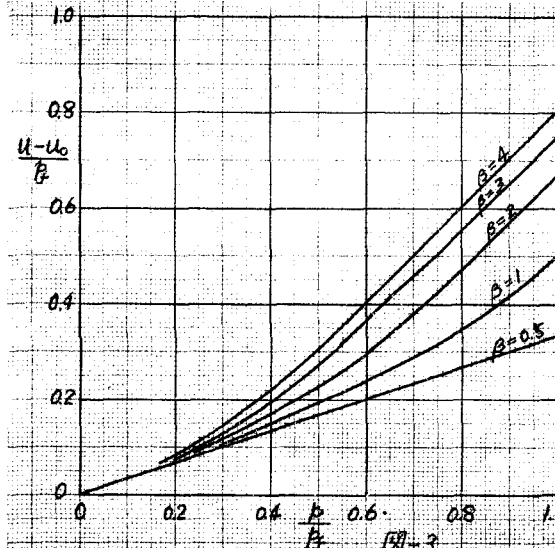
$$\frac{(u - u_0) + p}{\sigma_f} = \frac{(u - u_0) + \sigma_f'}{4} - \frac{2\varepsilon_3}{E_f} \quad \dots (5)$$

となるべきである。 $\therefore 2 - \frac{\sigma_f'}{E_f} = \beta$ とかけは

$$1 + \frac{(u - u_0) - p}{\sigma_f} = \left\{ 1 + \frac{u - u_0}{\sigma_f} \right\}^{2\beta}. \quad \dots (6)$$

(6)式右辺を2次元理屈展開し、圧縮荷重により生ずる間隙水圧

$$(u - u_0) + p \text{ 小さないとすれば} \quad u - u_0 = \frac{1}{H+2\lambda} p, \lambda = \frac{K}{K_f} \quad \dots (7)$$



1) A.W.Skempton の λ -theory は、一致する式である。しかし、(6)式のとくに、
隙水圧と軸差応力の間に直線関係があり、成り立つのは圧縮の初期の間だけであり、後でも軸差応力が破壊時の値 P_f の $\frac{1}{2} \sim \frac{2}{3}$ に達する迄を考慮するには(6)式を用ひねばならない。

後述のように実験結果、通常は密粒土では、圧縮初期(式の $K = \lambda - 1$)と考る事が多い。この事は Rendulic²⁾, Henkel³⁾, 三笠氏⁴⁾の実験に於ける報告され¹³。4:2"

(6)式における $\frac{P_f}{P_e} = \lambda - 1$ とし、(6)式の分子、分子と軸差応力の最大値 P_f 除して $\frac{P_f}{P_e} = \left(1 + \frac{P_f}{P_e}\right)^{\beta}$... (8)

(8)式において β の種類は後述の計算より、図-3に於ける関係式である。 β の値は粘土: 1.17 1つ常数として与えられると考る。

九大構内粘土($w=120\%$, $l=3.20$, $\delta_s=1.40$, $S_r=100\%$)の乱れ柱¹¹⁾,

試料2 "Qc-test" を行ない、結果を stress plane で示すと図-4 の通りである。有効応力は最初直角線と直角となす方向に進む。この事は軸差応力の $\frac{1}{3}$ に等しく隙水圧が生じる事を示す¹³。

Rendulic²⁾, Henkel³⁾は Slow-test よりもかう3 等向圧比(含水比)線と Qc-test の等向圧比線は一致すると述べて¹³いる。図-4, 若干の Slow-test の結果を併記した結果では同様な関係がみられる。

この事は既に一定の向圧比(含水比)での破壊時有効応力状態は一定であり、通常の安定解析に用ひる飽和粘土のアサワ角は $\gamma=0$ としなければならない事にして¹³。

圧縮中の有効応力と歪の関係を式にしたがって3式との併記したが、実験結果と仮定曲線とを比較すると図-5のとくに破壊近くを除き非常に近似している。計算に用いた α_f , P_f と圧密圧力 $\bar{\sigma}_0 = \delta_s - u_0$ との関係を本と図-6の通り¹²⁾、粘土: 1.17 一定の β 値を決

め3式を去り、Henkel³⁾ London clay: 1.17 で実験した結果より β を求めると $\beta = 1.78$ である。図-6よりまた $\beta = 2.3$ と用いた(8)式: 1.17 計算したものと実験値を比較すると図-7の通りである。かう3に有効応力-歪関係と指數曲線⁷⁾が併記する事により、軸差応力-隙水圧

水圧の関係と破壊近く、近似的に本と事によく合う。

文献1) A.W.Skempton "A Study of the immediate triaxial test on cohesive soils" Proc. 2nd. Int. Conf. Soil. Mech. 1948.
2) Leo.Rendulic "Ein Grundgesetz der Tonmechanik und sein experimenteller Beweis" Bauingenieur 1937, Aug.
3) D.J.Henkel "The relationships between the effective stresses and Water content in Saturated clay" Geo technique vol.10. 1960
4) 三笠正人 "河川堤防のFEMの基礎力学" 土木学会関西支部 1981

